

12. VALIK MEETODEID I

Sissejuhatus

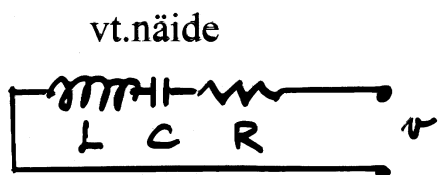
12.1 Analoogiad ja võrdlused

12.2 Katsete planeerimine (must kast)

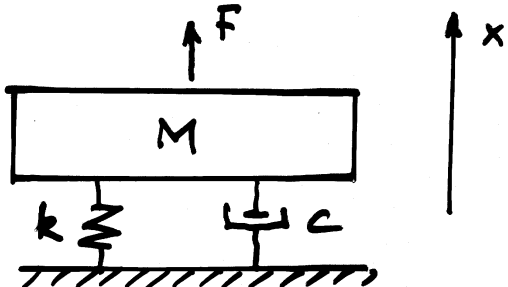
12.3 Abstraktne realisatsioonitehnika

12.1 Analoogiad

Elektriline
süsteem



Mehaanikaline
süsteem



$$L \frac{d^2q}{dt^2} + R \frac{dq}{dt} + \frac{q}{c} = v$$

$$M \frac{d^2x}{dt^2} + c \frac{dx}{dt} + k x = F$$

	Mõju e	Voog f	Impulss p = ∫ e dt	Siire q = ∫ f dt
Meh. jõud	jõud F [N]	kiirus v [m/s]	lin.moment P [Ns]	lin.siire x [m]
Meh.moment (põõre)	põörde moment τ [Nm]	nurk- kiirus ω [rad/s]		põõrde nurk θ [rad]
Elektrotehn.	pinge e [V]	vool i [A]	voog λ [Vs]	laeng q [c]
Kokkusuru- matu vedelik	rõhk p [N/m ²]	mahu voog Q [m ³ /s]	P _p [NS/m ²]	mahu siire V [m ³]

Maavärinate mudel

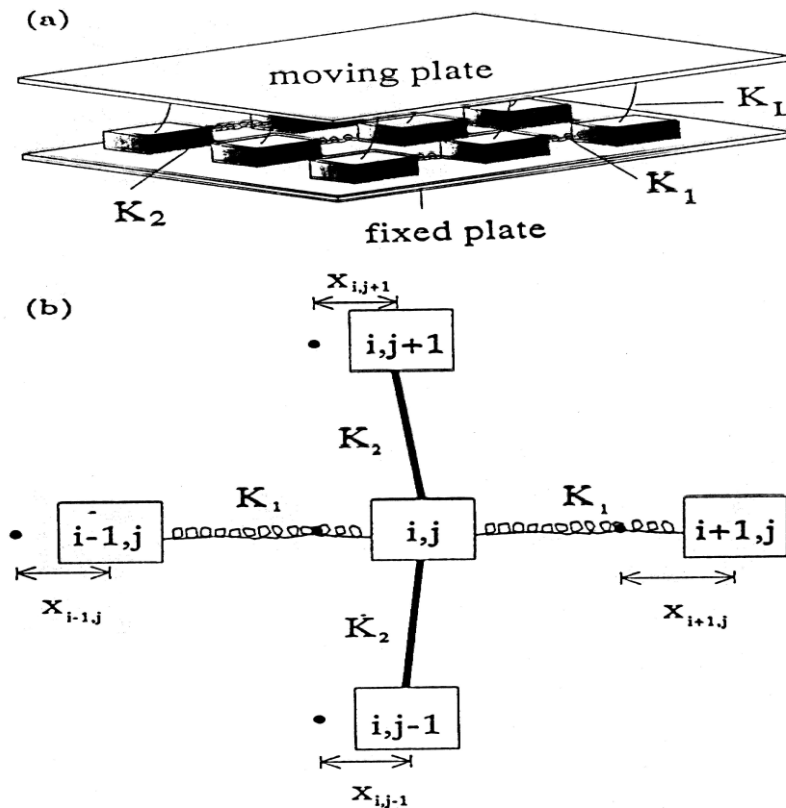


Fig. 1. The geometry of the Burridge-Knopoff spring-block model. (a) The two-dimensional system of blocks connected by springs. The strain of the blocks increases uniformly as a respond to the relative movement of the rigid plates. (b) A detailed picture of a given block (i, j) and its surroundings.

As a first step, we map the two-dimensional spring-block model into a continuous cellular automaton model. We define an $L \times L$ array of blocks by (i, j) , where i, j are integers, $1 \leq i, j \leq L$. The displacement of each block from its relaxed position on the lattice is defined as $x_{i,j}$. The total force exerted by the springs on a given block (i, j) is expressed by

$$\begin{aligned} F_{i,j} = & K_1 \cdot [2x_{i,j} - x_{i-1,j} - x_{i+1,j}] \\ & + K_2 \cdot [2x_{i,j} - x_{i,j-1} - x_{i,j+1}] \\ & + K_L \cdot x_{i,j}, \end{aligned} \quad (4)$$

where K_1 , K_2 , and K_L denotes the elastic constants (see Figure 1 b). When the two rigid plates move relative to each other, the total force on each block increases uniformly (with a rate proportional to $K_L \cdot V$, where V is the relative velocity between the two rigid plates) until one site reaches the threshold value and the process of relaxation begins (an earthquake is triggered). It can easily be shown (see Appendix A) that the redistribution of strain after a local slip at the position (i, j) is given by the relation

$$\begin{aligned} F_{i\pm 1,j} &\rightarrow F_{i\pm 1,j} + \delta F_{i\pm 1,j} \\ F_{i,j\pm 1} &\rightarrow F_{i,j\pm 1} + \delta F_{i,j\pm 1} \\ F_{i,j} &\rightarrow 0, \end{aligned} \quad (5)$$

where the increase in the force on nearest-neighbor blocks is

$$\begin{aligned} \delta F_{i\pm 1,j} &= \frac{K_1}{2K_1 + 2K_2 + K_L} \cdot F_{i,j} = \alpha_1 \cdot F_{i,j} \\ \delta F_{i,j\pm 1} &= \frac{K_2}{2K_1 + 2K_2 + K_L} \cdot F_{i,j} = \alpha_2 \cdot F_{i,j}. \end{aligned} \quad (6)$$

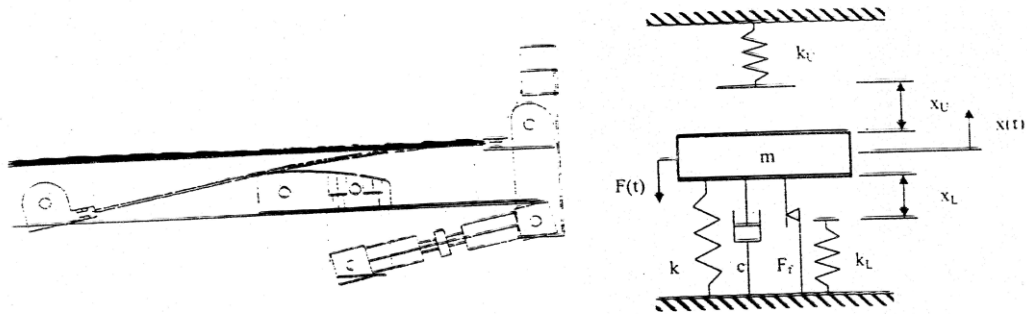


Fig. 2. A schematic and dynamic model of a pantograph current collector suspension [43]

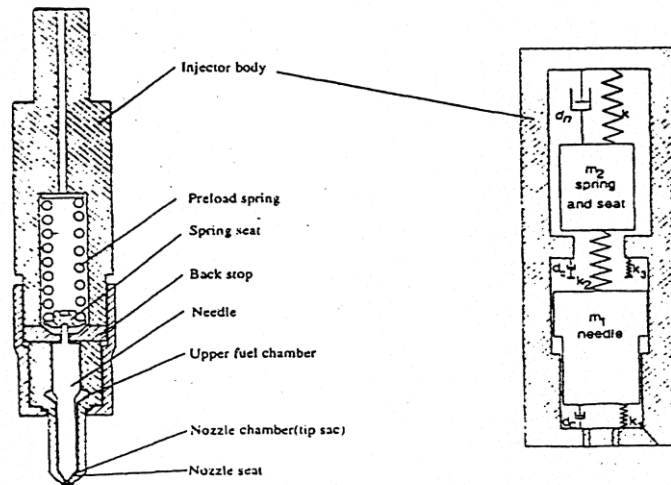


Fig. 4. Schematic and dynamic model of an injector valve [49].

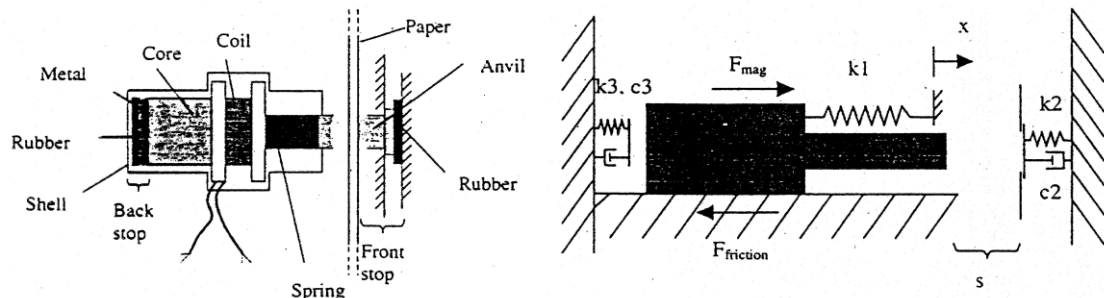
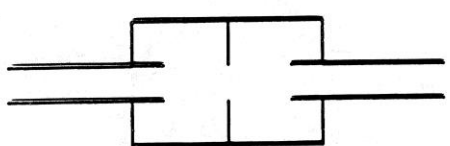
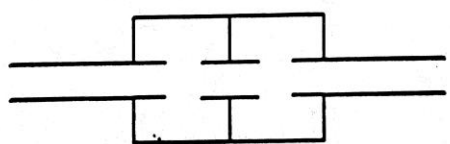


Fig. 7. A Braille printer impact hammer and a theoretical model [65].

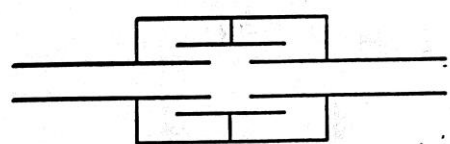
Silencer geometry



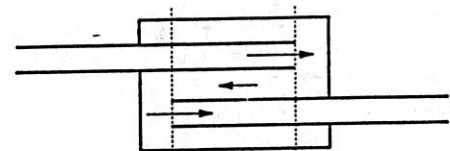
exp. chamber with internal orifice and extended inlet/outlet



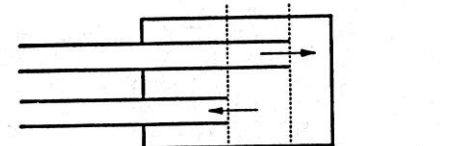
exp. chamber with internal duct and extended inlet/outlet



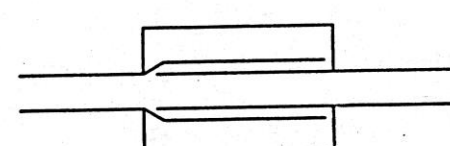
exp. chamber with folded straight duct



exp. chamber with flow reversals



exp. chamber with flow reversals



concentric Helmholtz resonator

Equivalent duct systems

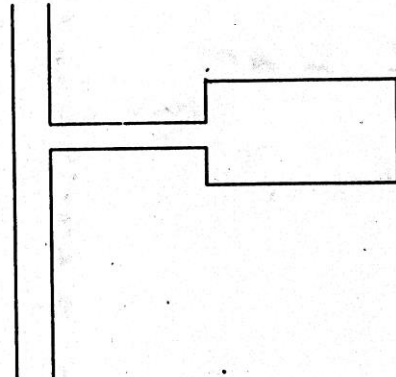
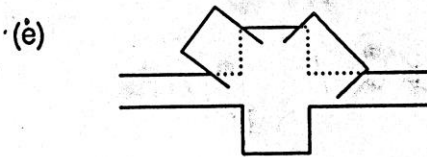
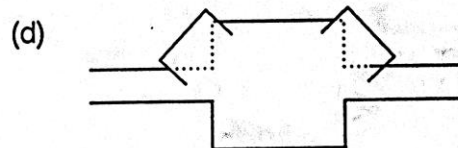
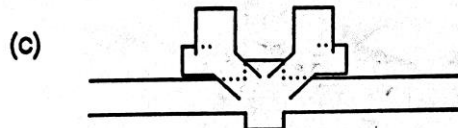
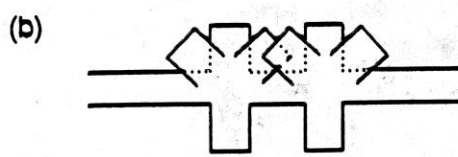
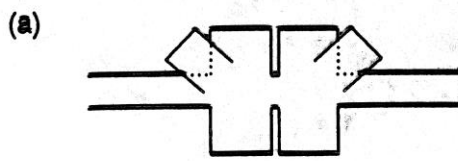


Fig. 13 – Acoustically equivalent duct systems adopted to model complex silencers using the nonlinear numerical code.

12.2 KATSETE PLANEERIMINE

1. Eesmärk



Näide tehnoloogiline protsess keemiatööstuses

Sisendid väljund

lähteainete kontsentratsiooni toote saagis
temperatuur
rõhk
katalüsaatorid

• • •

Katsetingimuste parim valik –

teatud katsete arvu juures – kõige täpsemad,
üksikasjalisemad
andmed

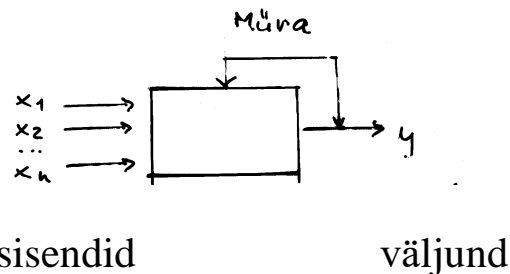
Katsete min arv?

Katsete planeerimine – ühe katseseeria iga üksiku katse maksimaalne ärakasutamine, matemaatilise seose määramiseks sisendi(te) ja väljundi vahel; selle usaldatavus, kehtivuspiirkond.

Harilikult: lineaarne lähend
ruutlähend

I.Petersen Katsete planeerimine. Tallinn, Valgus, 1966

2. Mudel



Sisendid (faktorid):

juhitavad (rõhk, temp, ainete hulk...)

mittejuhitavad (keemiline koostis, välis-temperatuur ...)

kvantitatiivsed

kvalitatiivsed (on / ei ole tüüpi)

kvalitatiivsed – kahenivoolised sisendid:

jah : + , 1

ei : - , 0

Kvantitatiivsed – kahenivoolised põhinivoo

x^0 suhtes, varieerimisühik 1

$$x^0 + 1 \quad , \quad +$$

$$x^0 - 1 \quad , \quad -$$

Väljund: kvantitatiivne

Müra: väljundi mõõtmisel tehtud viga, väliskeskkonna mittearvestatavad muutused, juhuslikud muutused (saastumine, ...), sisendite mittearvestatavad muutused

3. Matemaatiline mudel

$$y = F(x_1, x_2, \dots, x_n)$$

Ei otsita täpselt funktsiooni F , vaid tema teatud mõttes parimat lähendit mingist funktsionide klassist

Lineaarne mudel

$$y = b_0 + b_1 x_1 + b_2 x_2 + \dots + b_n x_n$$

Ruutmudel

$$\begin{aligned} y = & b_0 + b_1 x_1 + b_2 x_2 + \dots + b_n x_n \\ & + b_{12} x_1 x_2 + b_{13} x_1 x_3 + \dots + b_{n-1,n} x_{n-1} x_n + \\ & + b_{11} x_1^2 + b_{22} x_2^2 + \dots + b_{nn} x_n^2 \end{aligned}$$

n	sisendid	- lineaarne mudel	n+1	kordajat
		ruutmudel	$\frac{1}{2}(n^2 + 3n + 2)$	kordajat

Üldine mudel:

$$\psi(y) = b_0 \varphi_1(x_1) + b_1 \varphi_2(x_2) + \dots + b_n \varphi_n(x_n)$$

Lineaarne mudel:

- milliste sisendite suurendamine
- suurendab väljundit ($b_i > 0$)
- vähendab väljundit ($b_i < 0$)

Ruutmudel

- millal väljund on maksimaalne
- minimaalne
- (kui see on katsete diapasonis)

Aeg?

4. Kahlenivooline katseplaan

Sisendid	x_1, x_2, \dots, x_n
Põhinivood	$x_1^0, x_2^0, \dots, x_n^0$
Varieerimis- ühikud	l_1, l_2, \dots, l_n
tähistus	$x_i^0 + l_i$ + $x_i^0 - l_i$ -

sisendite arv $n = 4$

Katseplaani maatriks	$\begin{vmatrix} - & + & - & - \\ - & - & - & - \\ + & + & - & + \end{vmatrix}$	$N = 3$ katsete arv
----------------------	---	---------------------

Näide:	x_1	-	katalüsaatori kasutamine	(K)
	x_2	-	temperatuur	
	x_3	-	kontsentratsioonide suhe	
	x_4	-	segamine protsessi välitel (jah, ei)	
	$y^{(1)}, y^{(2)}$	-	tulemused (saagis)	

	x_1	x_2	x_3	x_4	$y^{(1)}$	$y^{(2)}$
Põhinivoo	-	100	1,0	-		
Varieerimisühik	-	10	0,2	-		
Alum.nivoo (-)	ei ole K	90	0,8	ei segata		
Ülem.nivoo (+)	on K	110	1,2	segatakse		
Katsed	1	-	+	-	$y_1^{(1)}$	$y_1^{(2)}$
	2	-	-	-	$y_2^{(1)}$	$y_2^{(2)}$
	3	+	+	-	$y_3^{(1)}$	$y_3^{(2)}$

Näide:

-	-	-	-	-	...	-	1
+	-	-	-	-	...	-	2
-	+	-	-	-	...	-	3
-	-	+	-	-	...	-	4
...
-	-	-	-	-	...	+	N

1-2 katse vahe – esimese faktori mõju

1-3 katse vahe – teise faktori mõju

.....

Puudused

1. iga mõju ainult ülejäävute alumisel nivool
2. iga mõju ainult ühekordse väljundite vahe mõõtmisega

Kuidas valida katseplaani?

Juhuslikult?

Leida reeglid, mis annaksid parima tulemuse?

5. Ortogonaalne katseplaan

Soodsaim olukord:

Kõigi faktorite mõjude määramiseks saaks kasutada katseseeria kõiki katseid

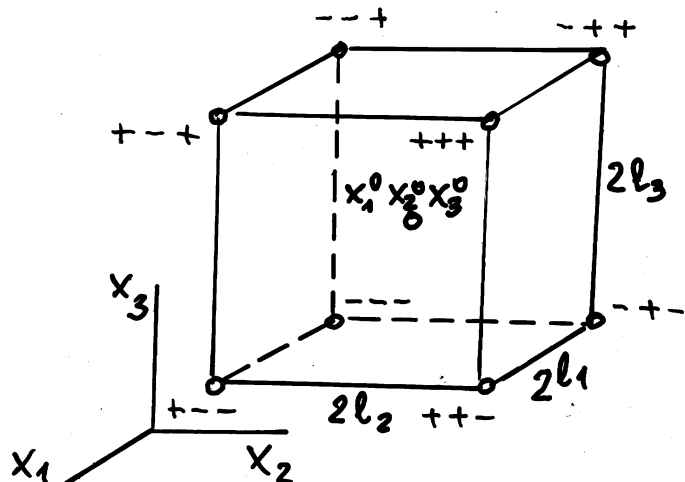
Olgu meil kahenivooline katseplaan

$$\|X_{ij}\| = \begin{vmatrix} X_{11} & X_{21} & \dots & X_{n1} \\ X_{12} & X_{22} & \dots & X_{n2} \\ \vdots & \vdots & \ddots & \vdots \\ X_{1N} & X_{2N} & \dots & X_{nN} \end{vmatrix} \quad \begin{array}{l} i = 1, 2, \dots, n - \text{sisendite arv} \\ j = 1, 2, \dots, N - \text{katsetearv} \end{array}$$

Loeme siin $x_{ij} = +1$ kui +
 $x_{ij} = -1$ kui -

n sisendiga protsess on iga katsepunkt
 n -dimensionaalses ruumis

Kui $n = 3$, siis (vt. näide)



Kui $n > 3$, siis vastav n -dimensiooniline risttahukas

Faktori x_i peafeekt:

$$x_i \text{ peafeekt} = \frac{2}{N} \sum_{j=1}^N x_{ij} y_j$$

See vastab väljundi keskmisele juurdekasvule faktori üleminekul alumiselt nivoolt ülemisele.

Lineaarne mudel

Kvantitatiivsed faktorid

$$y = b_0 + b_1(x_1 - x_1^0) + b_2(x_2 - x_2^0) + \\ + \dots + b_n(x_n - x_n^0)$$

$$b_i = \frac{x_i \text{ peafeekt}}{2l_i} = \frac{1}{N l_i} \sum_{j=1}^N x_{ij} y_j$$
$$i = 1, 2, \dots, n$$

S.o. y juurdekasv kui x_i muutub 1 ühiku võrra

$$b_0 = \frac{1}{N} \sum_{j=1}^N y_j$$

kvalitatiivsed faktorid

$$b_i(x_i - x_i^0) \rightarrow (x_i \text{ peafeekt}) x_i$$

$x_i = 0$, kui x_i on alumisel nivool

$x_i = 1$, kui x_i on ülemisel nivool

Ortogonaalse katseplaanide näited:

$$\begin{array}{cc} - & + \\ + & - \end{array}$$

$$\begin{array}{ccc} + & - & - \\ - & - & + \\ + & + & + \\ - & + & - \end{array}$$

$$\begin{array}{ccccc} + & + & - & + & - \\ - & - & + & + & + \\ + & - & + & - & - \\ - & + & - & - & + \\ - & + & + & - & - \\ + & - & - & - & + \\ - & - & - & + & - \\ + & + & + & + & + \end{array}$$

Faktori x_i mõju väljundile avaldub väljundi muutumises üleminekul x_i – teljega ristuvalt “alumiste” nivoode tahult “ülemiste” nivoode tahule.

Seega on vaja keskmiste väärustuste vahet. Mõlemad tahud võrdselt arvesse $\rightarrow N$ peab olema paarisarv ja mõlemal tahul $N / 2$ punkti. Järelikult, maatriksi i -ndas veerus $N / 2$ arvu +1 ja $N / 2$ arvu -1 ehk

$$\sum_{j=1}^N x_{ij} = 0, \quad i = 1, 2, \dots, n \quad (1)$$

Et keskmiste väärustuste vahe iseloomustaks ainult faktorit x_i , peavad mõlema tahu katsepunktide “keskmised” asetsema kohakuti. x_i – teljega ristuvatel tahkadel peavad kõigi ülejäänuud koordinaatide aritmeetilised keskmised olema võrsed

$$\frac{1}{N/2} \sum_j x_{kj} = \frac{1}{N/2} \sum_j x_{kj}, \quad k \neq i, \quad i = 1, 2, \dots, n$$

$x_{ij}=+1$ $x_{ij}=-1$

Seda saab teisendada kujule

$$\sum_{j=1}^N x_{ij} x_{kj} = 0 \quad (i \neq k) \quad (2)$$

St. Katseplaani maatriksi iga kahe (erineva) veeru vastavate elementide korruistide summa peab olema 0 (ortogonaalsuse tingimus)

(1), (2) täidetud \rightarrow ortogonaalne katseplaan

6. Faktorite interaktsioon

Kuidas muutub ühe faktori mõju teise faktori muutuse tõttu?

vt. näide

x_i ja x_k interaktsioon =

$$= \frac{1}{2} [(x_i \text{ peafeekt } x_k = +1 \text{ puhul}) - (x_i \text{ peafeekt } x_k = -1 \text{ puhul})]$$

$$x_i \text{ ja } x_k \text{ interaktsioon} = \frac{2}{N} \sum_{j=1}^N x_{ij} x_{kj} y_j$$

x_i ja x_k interaktsioon = x_k ja x_i interaktsioon

x_i ja x_k interaktsioon = x_i ja x_k peafeekt

Oluline teada:

millised kahe faktori interaktsioonidest

võib lugeda nulliks

on oluliselt positiivsed

on olulised negatiivsed

7. Täisfaktoriaalne katseplaan

kahenivooline katseplaan on täisfaktoriaalne, kuidas temas sisendid esinevad kõigil võimalikel erinevatel nivoode kombinatsioonidel

n sisendit $\rightarrow 2^n$ katset

$n = 1$	$n = 2$	$n = 3$
-	- -	- - -
-	+ -	+ - -
+	- +	- + -
+	+ +	+ + +

ortogonaalsuse
tingimus - täidetud

laiendatud maatriks

vasakule
veerg
“+” dest

lähte- maatriks

		\mathbf{x}_0	\mathbf{x}_1	\mathbf{x}_2	\mathbf{x}_{12}
\mathbf{x}_0	\mathbf{x}_1	+	-	-	+
+	-	+	+	-	-
+	+	+	-	+	-
		+	+	+	+

paremale lähtemaatriksi
erinevate veergude
kahe-, kolme-,..., n-kaupa

Segav effekt	x_0	x_1	x_2	x_3	x_4	$x_1 x_2$	$x_1 x_3$	$x_1 x_4$	y	y^2
	$x_2 x_3$	$x_1 x_3 x_4$	$x_1 x_2 x_4$	$x_1 x_2 x_3$	$x_3 x_4$	$x_2 x_4$	$x_2 x_3$	x_2	x_3	
Põhinivoo	0.2	1.0	50	10						
Varieerimisühik (l_i)	0.2	0.1	5	10						
Alumine nivoo (-)	0	0.9	45	0						
Ülemine nivoo (+)	0.4	1.1	55	20						
Katsed:	1	+	-	-	-	+	+	+	37	1369
	2	+	+	-	-	-	-	+	44	1936
	3	+	-	+	-	+	-	+	52	2704
	4	+	+	+	-	-	+	-	60	3600
	5	+	-	-	+	+	+	-	36	1296
	6	+	+	-	+	-	-	+	51	2601
	7	+	-	+	+	-	-	+	50	2500
	8	+	+	+	+	+	+	+	62	3844

$$\sum x_{ij} y_j = 392 \quad 42 \quad 56 \quad 6 \quad -4 \quad -2 \quad 12 \quad -6$$

$$D_i = \frac{1}{N l_i} \sum x_{ij} y_j = 26.3 \quad 70.0 \quad 0.15 \quad 0.05$$

$$D_i l_i^2 = 1.05 \quad 0.7 \quad 3.75 \quad -5.0$$

Lineaarne mudel

$$y = b_0 + b_1(x_1 - \bar{x}_1) + b_2(x_2 - \bar{x}_2) + \dots + b_n(x_n - \bar{x}_n)$$

$$b_0 = \frac{1}{N} \sum_{j=1}^N y_j$$

$$b_i = \frac{1}{N l_i} \sum_{j=1}^N x_{ij} y_j$$

$$b_0 = \frac{392}{8} = 49$$

$$y = 49 + 26.3(x_1 - 0.2) + 70.0(x_2 - 1) + 0.15(x_3 - 50) - 0.05(x_4 - 10)$$

Dispersioonanalüüs näitab, et X_3 , X_4 mõju on väike, st

$$\begin{aligned} y &= 49 + 26.3(x_1 - 0.2) + 70.0(x_2 - 1) \\ &= 25.3x_1 + 70.0x_2 - 26.26 \end{aligned}$$

8. Murdfaktoriaalne katseplaan

S.o. katseplaan, mis on saadud täisfaktoriaalsest sel teel, et mõned interaktsioonid on võetud uuteks faktoriteks.

Murd-faktoriaalse katseplaani maatriks koosneb m faktoriga täisfaktoriaalse katseplaani maatriksist ning selle laiendatud maatriksi nendest veergudest, millele vastavad interaktsioonid on määrvavate seoste abil võrrutatud uute faktoritega.

$$X_i \ X_k = X_{\overbrace{m+1}^{1, 2, \dots, m}} \\ \uparrow \\ \text{nn.määrvav seos} \quad \quad \quad \underbrace{i, k}_{}$$

NB! Segavad efektid (s.o. summaarne efekt)

Näiteks:

4 katse puhul saab määrata:

- 1) kahe faktori peafeektid ja nende interaktsiooni, määrvavad seoseid pole (täisfaktoriaalne katseplaan)
- 2) kolme faktori peafeektid eeldusel, et neist iga kahe interaktsioon on null; üks määrvav seos, iga faktori peafeekt on segatud ülejäänud kahe faktori interaktsiooniga;

Kui määrvav seos $X_1 \ X_2 = X_3$, siis

Efekt	X_1	X_2	X_3
segav efekt	$X_2 \ X_3$	$X_1 \ X_3$	$X_1 \ X_2$

12.3 Abstraktne realisatsioonitehnika (Abstract Realization Theory)

m	sisendit	$u \in K^m$
p	väljundit	$y \in K^p$
n	mõõtmeline	$x \in K^n$

Def. m sisendiga, p väljundiga, n mõõtmeline
lineaarne dünaamiline süsteem on maatriksite
 $\Sigma = (F, G, H)$ kolmik (triplett)

kus F on $n \times n$ ülekande maatriks,
 G on $n \times m$ sisendi maatriks,
 H on $p \times n$ väljundi maatriks.

$$\begin{cases} x(t) = Fx(t) + Gu(t) \\ y(t) = Hx(t) \end{cases}$$

NB! Siin on aeg oluline!

Formaalsed lahendid:

Vt Concise Encyclopedia of
Modelling & Simulation
Pergamon, Oxford et al., 1992